

名古屋工業大学 正員 長谷川 敏夫
 兵庫県 正員 福岡 誠司
 名古屋工業大学 正員 松浦 聖

最適化の手法 最適構造設計の新しい考え方として著者の1人がすでに最大荷重設計を提唱している。
 本研究はその有効性をさぐるため、プレート・ガーダーの断面の最適化を取り上げる。対象は単純支持された等分布または中央集中荷重を受ける2軸対称のプレート・ガーダーで、その断面形状パラメータをFig.1に示す。水平、垂直両補剛材の配置の有無は最適化において考慮する。最大荷重設計の最終的アルゴリズムは^{1), 2)}

$$\bar{P}_{\max} = \max_{\bar{L}_i} \left\{ \min_j P_j (\bar{L}_i, \bar{Y}) \right\} \quad (j=1, n, i=1, m) \quad (1)$$

ここで \bar{P} は荷重、 \bar{Y} は状態能力関数で $\bar{P}_j = \bar{C}_j / \bar{A}_j$ (\bar{C}_j =規定開数、 \bar{A}_j =構造解析開数)、 j は考慮する設計項目である。また、 \bar{L}_i は幾何学的パラメーター、 \bar{Y} は材料特性を表す量である。Fig.1の場合に対しては

$$\bar{Y} = f_j(b, t_f, h, t_w, l, E, \eta_f) \quad (2)$$

となるが、重量一定のもとでの最大荷重設計という特質とプレート・ガーダーの断面の力学的特性を考慮した上で変数の無次元化を行う。いま、次の無次元量を定義する。

$$\begin{aligned} R &= L^2 / A = l^2 / (2bt_f + ht_w), \quad \gamma = Aw / Af = h t_w / b t_f, \quad x_1 = b / t_f, \quad x_2 = h / t_w \\ g_y &= \sqrt{E / \eta_f}, \quad \text{かつ } \bar{P} = P / \eta_f l \quad (\text{等分布荷重}) \text{ または } \bar{P} = P / \eta_f l^2 \quad (\text{集中荷重}) \end{aligned} \quad (3)$$

この無次元量を用いると無次元化された状態能力関数は次のように与えられる。

$$\bar{Y} = \bar{f}_j(R, x_1, x_2, \gamma, g_y) \quad (4)$$

プレート・ガーダーで代表される板集成部材では x_1 、 x_2 は幅厚比制限により、その上限が与えられるとともに、最適断面ではその上限値をとることが力学的に自明である。また、一般にスパンとびを与えられた上で最適断面を求めるところから、重量一定の条件は $R = \text{一定}$ と等価である。すなわち、重量一定の拘束条件が独立変数を1つ減らすことによって立つ。使用鋼種を1つ与えるものとすれば、結局、式(4)は

$$\bar{P} = \bar{f}_j(R, x_1, x_2, g_y) \quad (5)$$

となり、最適計算にかかるパラメーターを1つにまで落とせ、かつ、式(1)で表される拘束条件を持たない関数の最大値を求めると、非常に簡単な問題に帰着することができる。

数値計算例と考察 最適設計をする際に準拠する設計示方書として現行の道路輸示方書³⁾を適用する。考慮する設計項目は1)許容曲げ圧縮応力度(積層層を考慮)、2)許容せん断応力度、3)許容たわみ($l / 500$)、4)ウェブ幅厚比制限、および5)フランジ幅厚比制限で実用上考慮すべき項目は全て含む。この中で4), 5)の拘束条件は前述の x_1 、 x_2 を最大値に固定することで実際の最適計算の中では考慮する必要がない。

実用上、有用な情報を得ることを目的として数値計算した最終の結果をFig.2~6に示す。図では適用し得る最大許容荷重 \bar{P} とそのときの最適な一般化細長比 γ および最適形状比 η_f との関係を与えるチャートとして示す。適用にあたっては、荷重とスパンおよび鋼種が与えられるとき \bar{P} が決まり、チャートから最適な γ を求めて最小断面積 A を決め、次に下限からそのときの最適な η_f を求めてウェブと圧縮フランジの面積比を決定する。以上の手順で最終的に断面を確定する。Fig.2は垂直あるいは水平補剛材の有無によって適用最大荷重と最適形状比如何に変わるべきを示したものである。道路輸示方書では l/b の制限を使用上の配慮から経験的に与えているが、その制限の有無による最適特性の相違も示した。()内の数値は最適断面を与えるときの l/b の値を示す。尺が大きくなればとくに実線は $l/b \leq 30$ の条件より最適断面は $l/b = 30$ であり、唯一の独立変数である γ さえもその制限から決定されることを示す。計算結果の内容から尺が小さくときはせん断応力、尺が大きくときは曲げ応力

で最適断面が支配されることかわかるがRが小さい場合の最適Q値の特性はその支配拘束条件の変化に由来する。

Fig. 3は鋼種による最適特性の相違を示す。 P_{max} の値としてはSM53の結果がSS41での値より小さくなっているが、これはそれぞれの降伏応力で無次元化しているためで絶対値としての最大荷重はSM53の方が高いのは当然である。ただ無次元量としてこれだけの差がでてくるのは、鋼材の単価を考慮した費用設計の立場から検討に値しよう。Fig. 4は実際の設計と離れて横座屈を全く考慮しない場合の結果を考慮した場合と比較したものである。横座屈を考慮しない場合、最適断面を与える $q = A_w/A_{cf}$ の値は、曲げ応力で決まる場合、簡単な解析計算でも明らかのように2.0となるが、Rが非常に小さい場合はせん断、大きい場合はたわみにより支配され、 q の最適値が変化するのがわかる。参考のため、同図には実際の鉄道橋アーチ・ガーダーの標準術の例を示す。

Fig.5は等分布荷重と集中荷重の場合を比較したもので、得られる最大荷重に相違はあるが、Rが小さくせん断で決まる場合を除き、最適断面は同一であり、荷重の分布性状には敏感であることがわかる。Fig. 6はたわみによって支配される状況を把握するため、たわみ制限を厳しくと、大場合を比較したものである。ケースIがせん断から曲げで支配されておりのに対し、ケースII、IIIでたわみによって支配されることによる最適断面形状の変化の状況が図から読み取れる。

参考文献

- 1) Hasegawa,A., Hall,W.B. and Lind,N.C., "Maximum Load Design of Cold Formed Steel Channel Beams", Proc. of ASCE, Vol.104, No.577, July 1978
- 2) 長谷川彰夫, "最適設計手法としての最大荷重設計", 第33回工木学会年次講演集第1部, 昭和53年9月
- 3) 道路協会, "道路橋示方書同解説", 昭和48年

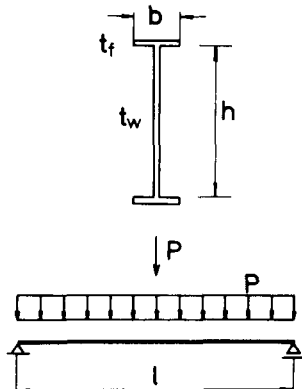


Fig.1 最適化の対象

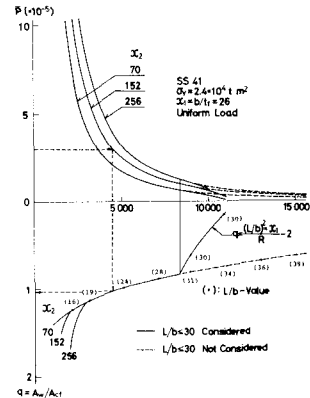


Fig.2 補剛材の有無による相違

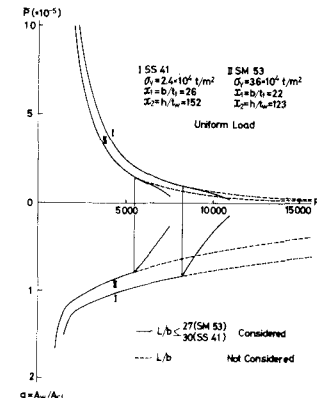


Fig.3 鋼種による相違

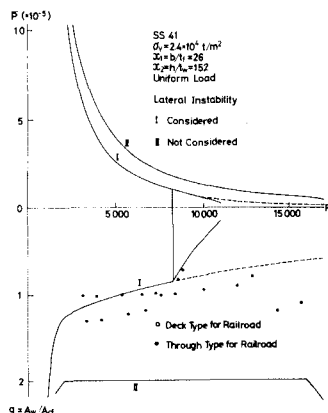


Fig.4 横座屈考慮の有無による相違

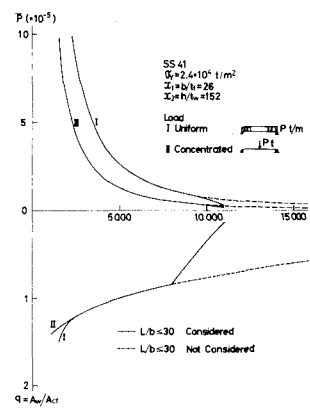


Fig.5 荷重様式による相違

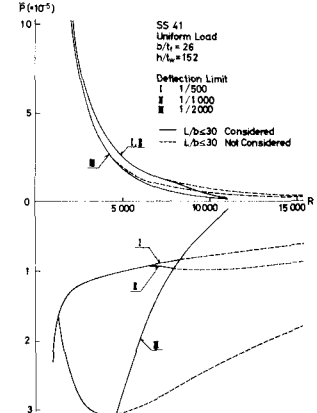


Fig.6 たわみ制限の越え